

УДК 518.5:681.142.001.2:621.382.32

АНАЛИЗ ИНТЕГРАЛЬНОЙ ЦЕПИ ЛОГИЧЕСКИХ ИНВЕРТОРОВ С ПРОСТОЙ КОРРЕЛЯЦИЕЙ ПАРАМЕТРОВ

Е.И.Беляев, В.К.Королев

Рассматривается передача сигнала в цепи логических инверторов с положительной корреляцией параметров. Предлагается метод машинного расчета, сложность и точность которого не зависят от длины цепи.

§ I. Условия работоспособности цепи

I. В монолитном интегральном блоке физическое расположение конкретных элементов остается фиксированным в течение всего срока службы (перестановка и взаимозамена невозможна). Кроме того, для интегрального исполнения характерна положительная корреляция одноименных параметров соседних однофункциональных схем. Учет этих факторов в проектировании позволяет снизить требования к технологиям производства изделий и, следовательно, их себестоимость, однако соответствующие методы расчета разработаны весьма мало.

Целью настоящей работы является определение условий работоспособности бесконечной цепи логических инверторов с учетом изложенных обстоятельств.

Известно [1,2], что основным функциональным требованием к такой цепи является способность передачи двоично-квантован-

ного сигнала без затухания через n каскадов для сколь угодно большого n . Аналитически это выражается в виде системы $2n$ нелинейных неравенств:

$$x_{2\kappa} > M_1, \quad x_{2\kappa+1} < M_0 \quad \text{при} \quad x_0 > M_1, \quad (1)$$

$$x_{2\kappa} < M_0, \quad x_{2\kappa+1} > M_1 \quad \text{при} \quad x_0 < M_0,$$

для некоторых уровней M_0 и M_1 , и для $\kappa=0 \dots \frac{n}{2}$, причем x_0 — входной сигнал первого элемента, x_i — выходной сигнал элемента i с начала блока (рис. I).

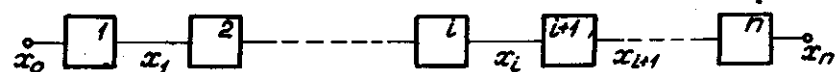


Рис. I.

Графически условия (1) выражаются в том, что пересечение семейства статических характеристик элементов

$$y = f(x, \alpha) \quad (2)$$

с семейством обратных характеристик

$$x = \varphi(y, \alpha), \quad (3)$$

(где α — вектор-параметр элемента) представляет собой три не-пересекающиеся области (чис. 2, а). Работоспособность цепи при

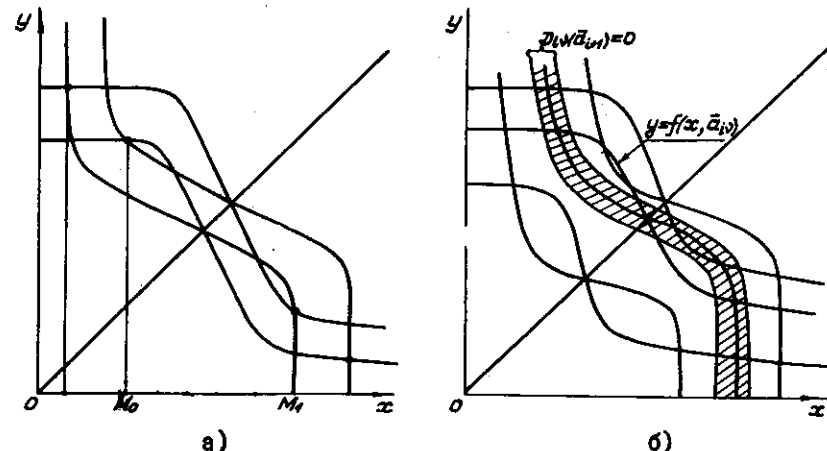


Рис. 2

этом не зависит от наличия или отсутствия корреляции параметров.

2. Пусть вектор-параметр распределен в некоторой области $\mathcal{D}(\alpha) \leq 0$.

Рассмотрим цепь, в которой параметры смежных элементов коррелированы. Ограничимся простой, или односвязной, стационарной корреляцией: при этом каждому значению $\alpha_{i,j}$ вектор-параметра α_i в элементе i соответствует условная область

$$\mathcal{D}_{i,j} (\alpha_{i+1}) \leq 0$$

значений вектор-параметра α_{i+1} в соседнем элементе $i+1$, вообще говоря, отличная от всей области $\mathcal{D}(\alpha) \leq 0$ и не зависящая от номера i .

Корреляция одномерных параметров соседних инверторов примем положительной. При этом семейство обратных характеристик $x = \varphi(y, \alpha_{i+1})$, со-ответствующих области $\mathcal{D}_{i,j} (\alpha_{i+1})$, группируется вокруг (или вблизи) характеристики $x = \varphi(y, \alpha_{i,j})$, симметричной характеристике $y = f(x, \alpha_{i,j})$, и работоспособность цепи проверяется (здесь $\alpha_{i,j} = \alpha_{i+1}$), см. рис. 2, б.

В связи с этим рассматрим случай, когда полные (безусловные) семейства прямых и обратных характеристик передачи не образуют изолированных замкнутых множеств, как на рис. 2, а, и при отсутствии корреляции цепь была бы неработоспособна.

Нас интересуют условия, при которых корреляция с вынесенными свойствами создает в такой цепи работоспособность.

Естественно, что задача имеет смысл лишь для усеченных

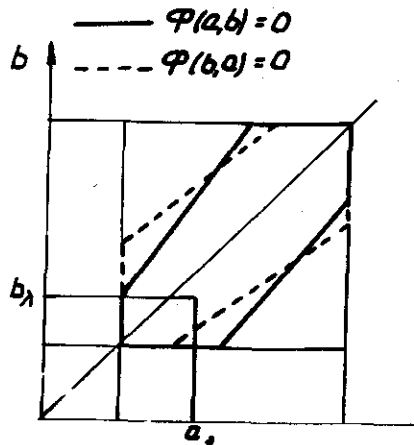


Рис. 3

образованных замкнутых множеств, как на рис. 2, а, и при отсутствии корреляции цепь была бы неработоспособна.

Нас интересуют условия, при которых корреляция с вынесенными свойствами создает в такой цепи работоспособность.

Естественно, что задача имеет смысл лишь для усеченных

распределений всех параметров.

3. Введем обозначения:

$\alpha_i = \alpha$, $\alpha_{i+1} = b$; совместную область фактических значений α и b , определяемую технологией производства, обозначим

$$\Phi(\alpha, b) \leq 0. \quad (4)$$

Согласно вышесказанному, она, вообще говоря, отлична от прямого пересечения областей $\mathcal{D}(\alpha)\mathcal{D}(b)$. Пересечение области (4) с обратной ей

$$\Phi(b, \alpha) \leq 0 \quad (5)$$

определяет такую область значений параметров α, b , что для каждой точки (α_i, b_j) этой области и для любого $n > 0$ существует отличная от нуля вероятность получения в нашей цепи (рис. 1) непрерывной серии $(\alpha_1, b_1, \alpha_2, b_2, \dots)$ длиной n вальев.

Принципиальный вид областей (4) и (5) для одномерных векторов α и b проиллюстрирован на рис. 3.

Следовательно, точки пересечения характеристик

$$y = f(x, \alpha), \quad (6)$$

$$x = \varphi(y, b) \quad (7)$$

для всех $(\bar{\alpha}, \bar{b})$, удовлетворяющих обоим условиям (4), (5), являются точками равновесия цепи (рис. 1).

Очевидно, что уравнения (6), (7) ставят в однозначное (не взаимно!) соответствие каждой точке α_i, b_j области (4) некоторую точку x_i, y_j плоскости x, y (рис. 2, б). вся область (4) при этом отображается в некоторую область в плоскости x, y , которую назовем областью рабочих сигналов. Граница этого отображения представляет собой некоторую кривую, которую обозначим

$$F_1(x, y) = 0. \quad (8)$$

Она лежит полностью внутри пересечения семейств (6) и (7).

То же относится к области (5); соответствующую границу обозначим

$$F_2(x, y) = 0. \quad (9)$$

Подчеркнем, что область $F_1(x, y) = 0$ задает на каждой "прямой" характеристики (6) границу соответствующего ей условного подсемейства "обратных" характеристик, а область $F_2(x, y) = 0$ — на каждой "обратной" характеристики (7) границу подсемейства "прямых".

Вопрос работоспособности цепи решается рассмотрением возможных форм этих границ.

Методика их построения изложена далее в §2.

4. В общем виде границы области рабочих сигналов сложны, но могут быть сведены к трем типовым случаям.

Случай I. Внешняя огибающая областей $F_1(x,y)=0$ и $F_2(x,y)=0$ (кривые β_0, μ_0, δ_0 , $\gamma_x, \mu_x, \delta_x$ и аналогичные им) ограничивает на семействах характеристик передачи три изолированные области (рис.4).

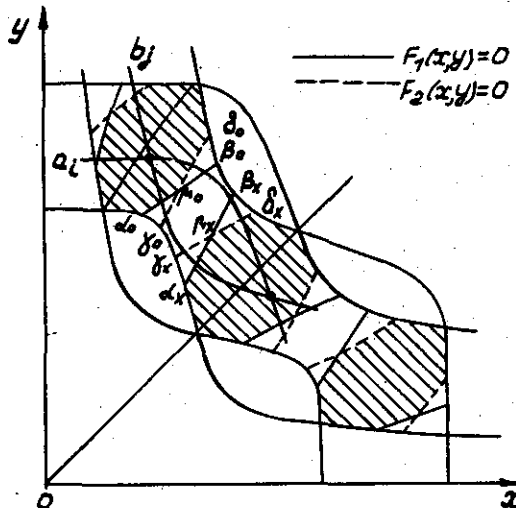


Рис. 4

При этом цепь заведомо работоспособна.

Границами областей установленных сигналов "нуля" и "единицы" и области неопределенности могут в наихудшем случае служить участки упомянутой внешней огибающей. Но более точно эти границы можно определить рассмотрением двух частных случаев.

Случай I, а (рис.5, а) – граница $F_2(x,y)=0$ расположена по часовой стрелке относительно границы $F_1(x,y)=0$.

Из изложенного в п.3 ясно, что сигналы внутри пересечения областей $F_1(x,y)=0$ и $F_2(x,y)=0$ являются размежеванными сигналами цепи и будут достоверно в ней существовать. Наихудшие

сигналы из этого множества – γ_0 и β_0 – создают при наихудшей последовательности параметров границу рабочих сигналов вне упомянутого пересечения. Эта граница находится графическим построением (линии $\gamma_0, \beta_0, \alpha_0, \delta_0$ на рис. 5, а).

Случай I, б (рис. 5, б) – граница $F_2(x,y)=0$ расположена против часовой стрелки относительно границы $F_1(x,y)=0$. При этом внутри пересечения областей наихудшим сигналом, способным создать сигналы вне пересечения, является точка пересечения границ μ_0 . При этом построение границы рабочих сигналов в окрестности точки μ_0 осуществляется аналитически с помощью предельного перехода.

Отметим, что границы α_0, β_0 и γ_0, δ_0 могут не пересекаться. Этот случай по отношению к описанным является частным.

Совершенно идентичные случаи возможны и в области неопределенности для кривых α_x, β_x , γ_x, δ_x . Полученные при этом линии α_x, β_x , γ_x, δ_x ограничивают множество таких сигналов, любой из которых будет в сколь угодно длинной цепи распознан как логический "нуль". (Ясно, что в правой части семейства характеристик то же самое справедливо для логической "единицы".) Для случая I, б такой границей является ступенчатая траектория, которая сходится к точке μ_x (рис.5, б) и практически получается обратным построением – от точки μ_x – с помощью предельного перехода. Отсюда следует, что при наличии корреляции параметров установленный режим цепи ("нуль" или "единица") определяется не только входным сигналом (как без корреляции), но и значением вектор-параметра первого элемента.

Случай 2, а аналогичен случаю I, а, но граница $F_2(x,y)=0$ в области "нуля" пересекается с границей $F_1(x,y)=0$ в области неопределенности. При этом не возникает ничего нового по сравнению со случаем I, а, поэтому соответствующий рисунок не приводится.

Случай 2, б аналогичен случаю I, б (рис.6), но граница $F_1(x,y)=0$ в области "нуля" пересекается с границей $F_2(x,y)=0$ в области неопределенности. При этом в цели возможен отказ (именно этот случай представлен на рис.6), но его может и не быть. Выяснение этого обстоятельства требует построения траектории рабочих сигналов для наихудшей последовательности параметров, как изложено в случае I, б.

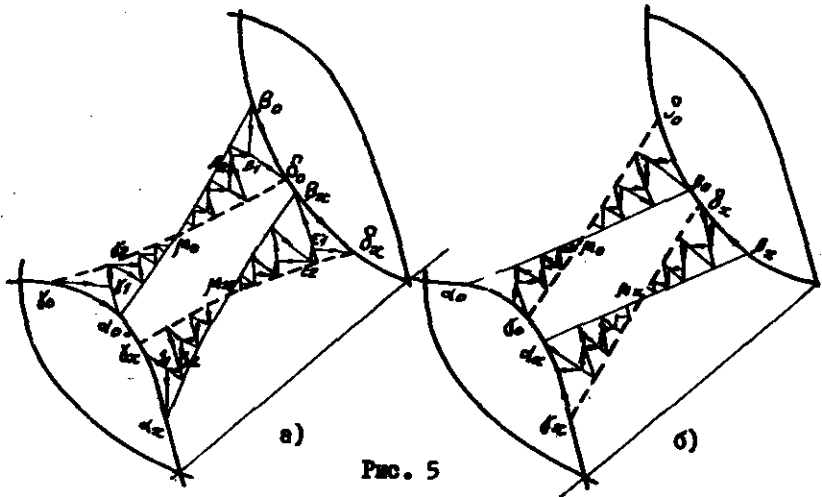


Рис. 5

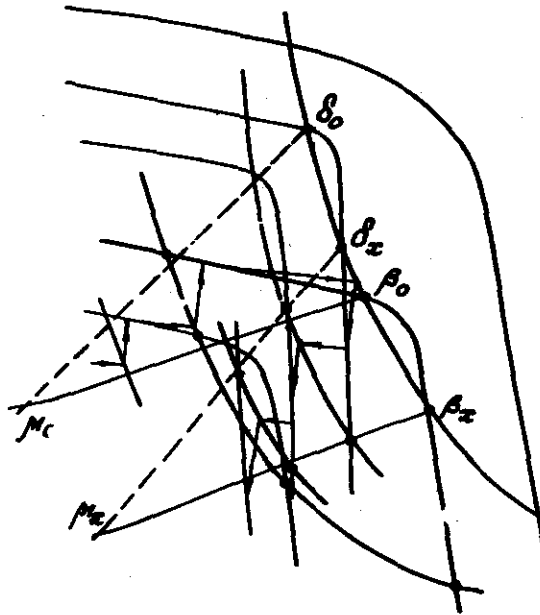


Рис. 6

Случай 3. При менее тесной корреляции параметров одна или обе кривые $F_1(x, y)=0$ и $F_2(x, y)=0$ могут ограничивать на семействах характеристик односвязную область, но их внутренняя огибающая (граница упомянутого пересечения) по-прежнему ограничивает на семействах три изолированных области (кривые $\delta_0 \mu_0 \alpha_0$, $\alpha_x \mu_x \delta_x$ и аналогичные им на рис. 7).

При этом возможны два случая - рис. 8, а и б - соответственно аналогичные случаям рис. 5, а и б. Вопрос работоспособности цепи при этом решается построением границ множества рабочих сигналов, аналогичным описанному для случаев I, а и б. В частности, на рис. 8, а, б показаны случаи отказов.

Случай 4. При еще менее тесной корреляции параметров граница пересечения областей $F_1(x, y)=0$ и $F_2(x, y)=0$ может ограничивать на характеристиках односвязную область (рис. 9).

В принятых допущениях (п.2) существует условное распределение $\chi(\alpha_{i+1}/\alpha_i)$ вектор-параметра элемента при данном значении вектор-параметра предыдущего элемента. Распределение $\chi(\alpha_{i+1}/\alpha_i)$ и уравнение (2) задают совместное условное распределение двух (вообще $2m+1$) случайных величин: вектор-параметра элемента α_{i+1} и его выходного сигнала y при заданных значениях вектор-параметра предыдущего элемента α_i и его выходного сигнала x [3]:

$$\kappa(y, \alpha_{i+1} | x, \alpha_i) = \delta(y - f(x, \alpha_{i+1})) \chi(\alpha_{i+1} | \alpha_i), \quad (10)$$

где δ - импульсная функция.

Последовательность таких случайных величин в рассматриваемой схеме (рис. 1) образует простую однородную цепь Маркова, для которой выражение (10) является плотностью переходных вероятностей.

В данном случае эта цепь не имеет замкнутых множеств состояний, и, согласно эргодическому свойству цепей Маркова [4], схема при бесконечной длине неработоспособна.

Для цепи конечной длины существует отличная от единицы вероятность работоспособности, которая может быть подсчитана по обычной методике теории цепей Маркова. В принятых допущениях она будет выше, чем без корреляции.

§ 2. Построение области рабочих сигналов

I. Ниже дается формулировка задачи и описывается алгоритм построения границ областей (8) и (9).

Пусть

$$\begin{aligned} y &= f(x, z), \\ x &= \varphi(y, z) \end{aligned} \quad (II)$$

соответственно уравнения прямой и обратной характеристик (см. рис. 2), где через z обозначен вектор, компонентами которого являются все компоненты векторов a и b :

$$z = \begin{pmatrix} a \\ b \end{pmatrix}.$$

Функции f и φ предполагаются непрерывно дифференцируемыми.

Координаты точки пересечения кривых (II) (если такая существует) являются функциями от z :

$$x = x(z),$$

$$y = y(z)$$

и при изменении z в некоторой области D :

$$D = \{z \mid \varPhi(z) \leq 0\}$$

(\varPhi — непрерывная вектор-функция) принимают значения из области F :

$$F = \{(x, y) \mid x = x(z), y = y(z), z \in D\}.$$

Границы этой области можно получить, вычисляя минимальные и максимальные значения $y(z)$ при изменении x в некотором интервале $[x_1, x_2]$.

Разрешим уравнения (II) относительно переменных x и y и запишем в следующем виде:

$$y = f_0(z),$$

$$\varphi(x, z) = 0.$$

Задача отыскания границ области F может быть записана в виде

$$\min \{F(x) \mid \varPhi(x) \leq 0, \psi(x, z) = 0, x_1 \leq x \leq x_2\}, \quad (I2)$$

где $F(x) = f_0 + \alpha f_1(x)$, постоянная $f_0 > 0$ выбрана так, чтобы целевая функция была неотрицательной, а коэффициент $\alpha = \pm 1$ веден для единообразия записи задачи на минимум и максимум.

От стандартной формулировки задачи нелинейного программирования [5] задача (I2) отличается наличием дополнительного ограничения

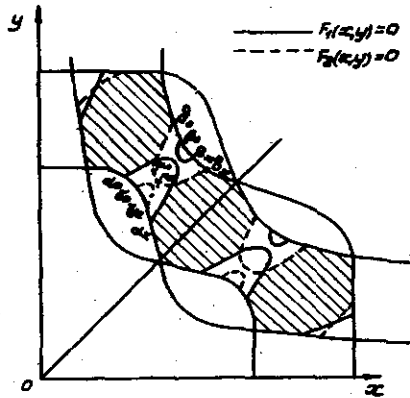


Рис. 7

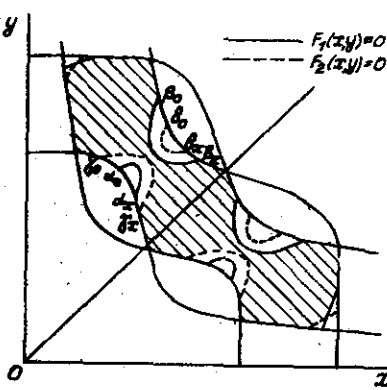


Рис. 9

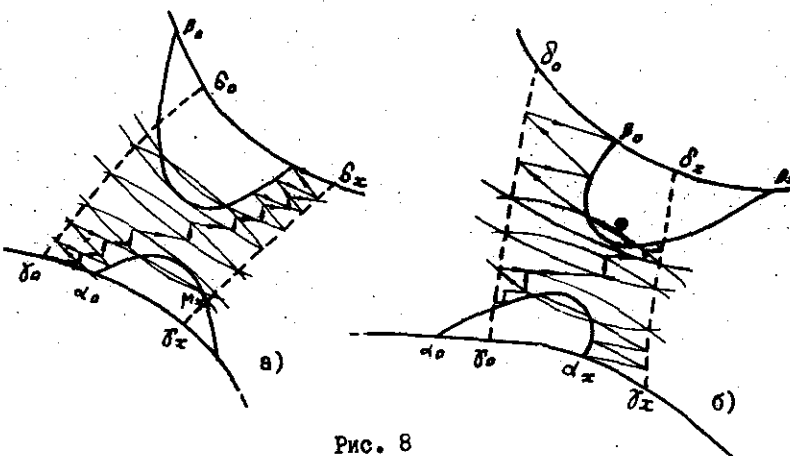


Рис. 8

ограничения – равенства, делающего, вообще говоря, допустимую область невыпуклой, а задачу многоэкстремальной. В принципе несложно освободиться от этого ограничения – равенства, исключив с его помощью одну из координат x_j . Однако этим можно "испортить" вид допустимой области и усложнить задачу, например в случае линейной функции $\Phi(x)$.

В работе [6] рассмотрена похожая задача и предложен способ решения, сводящий ее к последовательности "задач ухода" с поверхности $\psi = 0$ и возвращения на нее. Используя эту идею, можно, по-видимому, построить более эффективную процедуру поиска, осуществляя в "задаче ухода" движение по касательной к поверхности $\psi = 0$.

Введем для множества $\psi_x = \{x / \psi(x, z) = 0\}$ характеристическую функцию $\bar{\psi}(z)$, определив ее с помощью условий [6]:

$$\bar{\psi}(z) \begin{cases} = 0, & z \in \psi_x, \\ > 0, & z \notin \psi_x. \end{cases}$$

Например, можно положить $\bar{\psi} = \psi^2(x, z)$.

2. Опишем кратко (для случая линейных ограничений: $\Phi(x) = Ax - c$) алгоритм решения задачи (12), блок-схема которого изображена на рис. 10. Цифровая нумерация блоков на этом рисунке имеет отношение только к приводимому здесь описанию блок-схемы, но не к меткам внутри программы.

Исходная допустимая точка x_0 задается. Программа решает одну и ту же задачу 2Р раз: для значений $x = \alpha_i$, $i=1, 2, \dots, P$, и $\alpha = \alpha_1$. Внешний цикл (по α) занимает блоки с I по 23, внутренний (по α) – с 2 по 22.

Каждый раз перед началом решения задачи вычисляется среднее α_i , восстанавливаются логические признаки и вектор $x = x_0$, а также очищается рабочий массив S , для хранения значений вектора направлений (блоки 2, 3).

Далее решается "задача спуска на ψ_α " из точки x . Для этого в блоке 4 вычисляется S -вектор антиградиента характеристической функции. Если этот вектор мал (то есть точка x находится вблизи поверхности $\psi=0$), то определяется антиградиент самой функции $\psi(\alpha, z)$ (блоки 5, 9). В противном случае проверяется, является ли направление S возможным [5] (блок 6) и если да, то решается задача одномерной минимизации (блок 10)

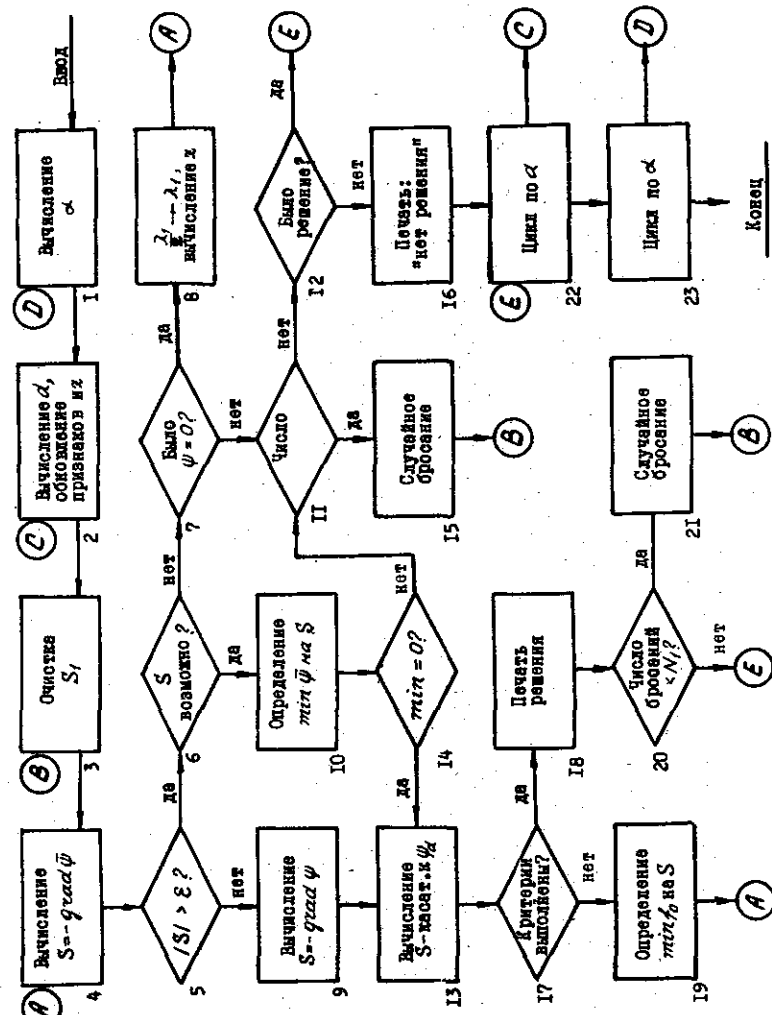


Рис. 10. Блок-схема алгоритма построения области рабочих сигналов

для функции

$$\varphi_2(\lambda) = \varphi^2(x + \lambda S), \quad 0 \leq \lambda \leq \lambda_*,$$

где λ_* - величина шага до граници [5].

Если вектор S выводит за пределы области D , то проверяется, была ли до этого точка на поверхности $\varphi=0$ (блок 7). Если да, то λ_* делится пополам и из новой точки x (блок 8) снова решается "задача спуска", а если нет, то производится случайное бросание x в D (блоки II, I5) и возвращение в блок 4.

Если решение "задачи спуска" существует (блок I4), то вычисляется вектор S - проекция антиградиента функции $f_0(x)$ на касательную плоскость к поверхности $\varphi=0$ (блок I3). Если же значение $\varphi=0$ не достигается, то делается попытка решить "задачу спуска" из других начальных точек. В случае неудачи после некоторого заданного числа N , попыток считается, что решения нет и соответствующая информация печатается.

Блок I7 проверяет выполнение критериев окончания счета: малость вектора S в блоке I3, малость шага λ_* , малость функции φ на границе. При выполнении хотя бы одного из них очередное решение печатается (блок I8), и решение задачи повторяется N раз при помощи случайных бросаний (блоки 20, 21) для отыскания глобального минимума.

Если ни один из перечисленных критериев не выполняется, то определяется минимум функции $f_0(x)$ на направлении S (блок I9) и из найденной точки повторяется "спуск на φ_α ".

Совершенно аналогично решается задача построения области F_2 , где вместо x используется вектор

$$x^* = \left\| \begin{matrix} b \\ \alpha \end{matrix} \right\|.$$

К этому краткому описанию блок-схемы добавим, что

1) градиент функции находится путем численного дифференцирования по трем точкам,

2) задача одномерной минимизации решается при помощи аппроксимирующих парабол.

Программа по описанному алгоритму составлена на языке АКИ-400 для ЭЦВМ "Минск-22".

Выводы

1. Для решения вопроса работоспособности цепи логических элементов с корреляцией параметров целесообразно свести задачу к случаю, когда корреляция односвязна и однородна.

2. Анализ цепи при этом заключается в построении границ области рабочих сигналов, что в свою очередь сводится к задаче нелинейного программирования с дополнительным ограничением - равенством.

3. В цепи логических инверторов положительная корреляция одноименных параметров повышает работоспособность.

Л и т е р а т у р а

1. ДОУ. Физическая реализация цифровых логических схем. - "Микромощная электроника", М., "Сов.радио", 1967.
2. ПАНФЕРОВ В.П. К вопросу о расчете надежности элементов ЭЦВМ в статическом режиме. -"Вопросы радиоэлектроники", 1965, серия УП, вып. 3.
3. ЛЕВИН Б.Р. Теоретические основы статистической радиотехники, М., "Сов.радио", 1969, т.1.
4. РОМАНОВСКИЙ В.И. Дискретные цепи Маркова. М.-Л., ГИТТЛ, 1949.
5. ЗОЙТЕНДЕЙК Г. Методы возможных направлений. М., ИЛ, 1963.
6. БАГРИНОВСКИЙ К.А. Об одном способе минимизации выпуклой функции на невыпуклом множестве. -"Научные труды Новосибирского государственного университета", сер. экономическая, 1966, вып. 8.

Поступила в ред.-изд.отд.
29.II.1972 г.